

**SKRIPSI**

**KAJIAN EKSPERIMENTAL KARAKTERISTIK ALIRAN DUA FASE  
UDARA-AIR + 7 % BUTANOL PADA PIPA KECIL POSISI MIRING  $10^0$**

Ditujukan untuk memenuhi persyaratan memperoleh gelar

Sarjana Teknik



**UMY**  
**UNIVERSITAS**  
**MUHAMMADIYAH**  
**YOGYAKARTA**

Unggul & Islami

**Disusun Oleh :**

**AFWAN HANIF**

**20150130227**

**PROGRAM STUDI S1 TEKNIK MESIN**

**FAKULTAS TEKNIK**

**UNIVERSITAS MUHAMMADIYAH YOGYAKARTA**

**2019**



## LEMBAR PENGESAIAN

### SKRIPSI

Kajian Eksperimental Karakteristik Aliran Dua Fase Udara-Air + 7%  
Butanol Pada Pipa Kecil Posisi Miring 10°

*Experimental Study on Characteristics of Air-7% Butanol Aqueous Solution  
Two-Phase Flow in Minichannels with inclined angle 10°*

Dipersiapkan dan disusun oleh:

Afwan Hanif  
20150130227

telah dipertahankan di depan Dewan Pengaji  
pada tanggal, 11 November 2019

Pembimbing Utama

Dr. Ir. Sudaria, M.T.  
NIK 19620904 200104 123050

Pembimbing Pendamping

Dr. Ir. Sukamta, M.T., IPM  
NIK 19700502 199603 123023

Pengaji

Tito Hadji Agung Santosa, S.T., M.T.  
NIK 19720222 200310 123054

Skripsi ini telah diterima sebagai salah satu persyaratan  
untuk memperoleh gelar Sarjana

Tanggal, 6 Desember 2019

Mengetahui,

Berli Yatmika Kamil, S.T., M.Eng.Sc., Ph.D.  
FAKULTAS TEKNIK 19740302 200104 123049

## **HALAMAN PERNYATAAN**

Yang bertanda tangan di bawah ini :

Nama : Afwan Hanif  
Nomor Induk Mahasiswa : 20150130227  
Program Studi : S-1 Teknik Mesin  
Fakultas : Teknik  
Judul Penelitian : Kajian Eksperimental Karakteristik Aliran  
Dua Fase Udara-Air dan Butanol 7% pada  
Pipa Kecil posisi Miring 10°

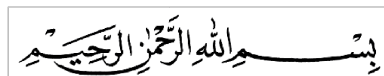
Saya menyatakan dengan sesungguhnya bahwa dalam tugas akhir ini adalah asli karya saya dan tidak terdapat karya yang pernah diajukan untuk memperoleh gelar sarjana di suatu Perguruan Tinggi dan sepengetahuan saya juga tidak terdapat karya yang pernah ditulis atau dipublikasikan oleh orang lain, kecuali yang sengaja tertulis diacu dalam naskah ini dan disebutkan sumbernya dalam daftar pustaka.

Yogyakarta, 11 November 2019



NIM 20150130227

## HALAMAN PERSEMBAHAN



Dengan mengucap Alhamdulillahirabbilalaamiin, puji syukur kepada Allah SWT yang telah memberikan segala rahmat-Nya dan atas dukungan dan doa dari orang-orang tercinta sehingga penulis bisa tetap tegar untuk menyelesaikan skripsi ini dengan baik dan tepat pada waktunya. Oleh karena itu dengan rasa bahagia dan bangga penulis haturkan terimakasih yang setulus-tulusnya kepada :

1. Bapak Berli Paripurna Kamil, S.T.,M.M. M.Eng.Sc, Ph.D, selaku Ketua Prodi S1 Teknik Mesin Universitas Muhammadiyah Yogyakarta.
2. Bapak Dr. Ir. Sudarja M.T., selaku dosen pembimbing tugas akhir atas bimbingan, bantuan dan saran-saran yang telah diberikan kepada penyusun dalam menyelesaikan skripsi ini.
3. Bapak Dr. Ir. Sukamta M.T., IPM., selaku dosen pembimbing tugas akhir atas bimbingan, bantuan dan saran-saran yang telah diberikan kepada penyusun dalam menyelesaikan skripsi ini.
4. Bapak Tito Hadji Agung Santosa, S.T., M.T. selaku dosen pengaji.
5. Kedua orangtua tercinta, bapak Fatoni dan ibu Fatimah yang selalu berdoa dan memberikan dukungan untuk kesuksesan penulis. Penulis tidak bisa membala seluruh kebaikan kedua orangtua, akan tetapi penulis hanya bisa mendoakan semoga segala jerih payah dan dukungan dari kedua orangtua dibalas oleh Allah SWT dan semoga penulis bisa membagiakan kedua orangtua di dunia dan di akhirat.
6. Kedua adik penulis yaitu : Nurul Avia dan Atma Yazid Ubaidilah yang tiada henti memberikan perhatian, doa dan dukungan kepada penulis.
7. Kepada saya yaitu : Gilang, Dimas, Wibi, Rahmat, Wahyu, Bowok, Kurnianto, Gemilang, Agus, Rifa'I, Astian, Laksmi, Nabila, Putri dan

## **DAFTAR ISI**

HALAMAN JUDUL.....	i
LEMBAR PENGESAHAN .....	i
HALAMAN PERNYATAAN .....	i
HALAMAN PERSEMPAHAN .....	iii
KATA PENGANTAR .....	v
DAFTAR ISI.....	vi
DAFTAR GAMBAR .....	x
DAFTAR TABEL.....	xv
DAFTAR LAMPIRAN.....	xvii
DAFTAR NOTASI DAN SINGKATAN .....	xviii
INTISARI.....	xix
<i>ABSTRACT</i> .....	xx
BAB I.....	1
1.1.    Latar Belakang .....	1
1.2.    Rumusan Masalah .....	3
1.3.    Batasan Masalah.....	3
1.4.    Tujuan Penelitian.....	4
1.5.    Manfaat Penelitian.....	4
BAB II.....	5
2.1.    Tinjauan Pustaka .....	5
2.2.    Landasan Teori.....	19

2.2.1. Aliran Dua Fasa.....	19
2.2.2. Tegangan Permukaan .....	19
2.2.3. Butanol .....	20
2.2.4. Kecepatan Superfisial.....	20
2.2.5. Pola Aliran .....	21
2.2.6. Fraksi Hampa .....	23
2.2.7. <i>Digital Image Processing</i> .....	26
2.2.8. Gradien Tekanan .....	30
BAB III .....	33
3.1. Tempat Penelitian.....	33
3.2. Bahan Penelitian.....	33
3.3. Alat Penelitian.....	35
3.3.1. Skema Alat yang Digunakan.....	35
3.3.2. Aliran Fluida Udara.....	37
3.3.3. Aliran Fluida Air .....	40
3.3.4. Peralatan Pengambilan Gambar .....	44
3.3.5. Seksi Uji .....	46
3.4. Kalibrasi Alat Ukur.....	50
3.5. Diagram Alir .....	52
3.6. Prosedur Pengambilan Data .....	54
3.7. Pengolahan Data dan Analisis Hasil .....	55
3.7.1. Pola aliran.....	55
3.7.2. Fraksi Hampa .....	55
3.7.3. Gradien .....	58

BAB IV .....	59
4.1. Pola Aliran .....	59
4.1.1    Pola Aliran <i>Plug</i> .....	59
4.1.2    Pola Aliran <i>Bubbly</i> .....	61
4.1.3    Pola Aliran <i>Slug Annular</i> .....	64
4.1.4    Pola Aliran <i>Annular</i> .....	66
4.1.5    Pola Aliran <i>Churn</i> .....	68
4.1.6    Peta Pola Aliran.....	69
4.1.7    Perbandingan Peta Pola Aliran.....	71
4.2    Fraksi Hampa .....	73
4.2.1    Fraksi Hampa Pola Aliran <i>Plug</i> .....	73
4.2.2    Fraksi Hampa Pola Aliran <i>Bubbly</i> .....	75
4.2.3    Fraksi Hampa Pola Aliran <i>Slug-annular</i> .....	77
4.2.4    Fraksi Hampa Pola Aliran <i>Annular</i> .....	79
4.2.5    Fraksi Hampa Pola Aliran <i>Churn</i> .....	81
4.3    Gradien Tekanan .....	83
4.3.1    Pengaruh Kecepatan Superfisial terhadap Gradien Tekanan .....	84
4.3.2    Gradien Tekanan terhadap Waktu.....	85
BAB V.....	87
5.1.    Kesimpulan.....	87
5.1.1.    Pola Aliran dan Peta Pola Aliran .....	87
5.1.2.    Fraksi Hampa .....	88
5.1.3.    Gradien Tekanan .....	88
5.2. Saran.....	89

DAFTAR PUSTAKA .....	90
LAMPIRAN.....	92

## DAFTAR GAMBAR

Gambar 2.1	Pola aliran pada <i>circular microchannels</i> (Triplett dkk., 1999) .....	6
Gambar 2.2	Perbandingan peta pola aliran pada circular <i>microchannels</i> berdiameter 1,097 mm dengan peta pola aliran peneliti terdahulu Triplett dkk., (1999) .....	7
Gambar 2.3	Perbandingan nilai terukur (total) dan nilai perhitungan dengan asumsi aliran homogen (akselerasi) (Triplett dkk., 1999) ...	8
Gambar 2.4	Hubungan antara pengukuran dengan fraksi hampa homogen (Kawahara dkk., 2002) .....	9
Gambar 2.5	Peta pola aliran (Serizawa dkk., 2002).....	10
Gambar 2.6	Data gradien tekanan gesek dua fase (Kawahara dkk., 2002).....	11
Gambar 2.7	Peta pola aliran : (a) 530 $\mu\text{m}$ dan (b) 250 $\mu\text{m}$ (Chung dan Kawaji, 2004) .....	12
Gambar 2.8	Hubungan antara fraksi hampa dan <i>volumetric quality</i> (Chung dan Kawaji, 2004) .....	13
Gambar 2.9	Pengaruh $J_G$ dan $J_L$ terhadap fraksi hampa.....	15
Gambar 2.10	(a) Pengaruh $J_L$ terhadap gradien tekanan pada berbagai $J_G$ , (b) Pengaruh $J_G$ terhadap gradien tekanan pada berbagai $J_L$ (Sudarja dkk., 2016).....	16
Gambar 2.11	Pola aliran pada konsentrasi gliserin 60% : (a) <i>Bubbly</i> : $J_G = 0,116 \text{ m/s}$ ; $J_L = 0,539 \text{ m/s}$ , (b) <i>Plug</i> : $J_G = 0,116 \text{ m/s}$ ; $J_L = 0,033 \text{ m/s}$ , (c) <i>Slug-annular</i> : $J_G = 9,62 \text{ m/s}$ ; $J_L = 0,091 \text{ m/s}$ , (d) <i>Annular</i> : $J_G = 66,2 \text{ m/s}$ ; $J_L = 0,149 \text{ m/s}$ dan (e) <i>Churn</i> : $J_G = 22,26 \text{ m/s}$ ; $J_L = 2,297 \text{ m/s}$ . (Sudarja dkk., 2018) .....	17
Gambar 2.12	Peta pola aliran konsentrasi gliserin 60% (Sudarja dkk., 2018)....	18

Gambar 2.13	Pola aliran <i>bubbly</i> pada <i>mini channel</i> (Triplett dkk., 1999).....	22
Gambar 2.14	Pola aliran <i>plug</i> pada <i>mini channel</i> (Triplett dkk., 1999).....	22
Gambar 2.15	Pola aliran <i>slug annular</i> pada <i>mini channel</i> (Triplett dkk., 1999). ....	22
Gambar 2.16	Pola aliran <i>annular</i> pada <i>mini channel</i> (Triplett dkk., 1999).....	23
Gambar 2.17	Pola aliran <i>churn</i> pada <i>mini channel</i> (Triplett dkk., 1999) .....	23
Gambar 2.18	Fraksi hampa <i>local</i> (thome, 2004) .....	24
Gambar 2.19	Skema fraksi hampa <i>chordal</i> (Thome, 2004).....	25
Gambar 2.20	Fraksi hampa <i>cross-section</i> (Thome, 2004) .....	25
Gambar 2.21	Fraksi hampa volumetrik (Thome, 2004).....	26
Gambar 2.22	Digital <i>Image processing</i> (Mayor dkk., 2007) .....	26
Gambar 2.23	Contoh gambar RGB dengan aliran <i>plug</i> .....	27
Gambar 2.24	Contoh gambar <i>greyscale</i> dengan aliran <i>plug</i> .....	28
Gambar 2.25	Contoh gambar <i>biner</i> dengan aliran <i>plug</i> .....	28
Gambar 3.1	Cairan (a) butanol dan (b) akuades .....	34
Gambar 3.2	Grafik perbandingan index butanol dan nilai <i>surface tension</i> .....	34
Gambar 3.3	Skema Instalasi Penelitian.....	36
Gambar 3.4	Kompresor.....	37
Gambar 3.5	<i>Watertrap</i> .....	38
Gambar 3.6	<i>Flowmeter</i> Udara .....	39
Gambar 3.7	Penampung Fluida Cair.....	40
Gambar 3.8	Pompa air.....	41
Gambar 3.9	<i>Flowmeter</i> Air .....	42

Gambar 3.10	Bejana bertekanan .....	43
Gambar 3.11	<i>Gate Valve</i> .....	44
Gambar 3.12	<i>Check Valve</i> .....	44
Gambar 3.13	Kamera .....	45
Gambar 3.14	<i>Mixer</i> .....	46
Gambar 3.15	<i>Test Section</i> .....	47
Gambar 3.16	Lampu LED.....	47
Gambar 3.17	<i>Pressure Transducer</i> .....	48
Gambar 3.18	Arduino UNO .....	48
Gambar 3.19	Komputer.....	49
Gambar 3.20	Grafik Kalibrasi MPX.....	50
Gambar 3.21	Kalibrasi <i>flowmeter</i> cairan kapasitas 100-500 mL/menit.....	51
Gambar 3.22	Kalibrasi <i>flowmeter</i> cairan kapasitas 0,1-1 mL/menit.....	51
Gambar 3.23	Diagram alir penelitian.....	52
Gambar 3.24	Diagram Alir lanjutan.....	53
Gambar 3.25	Sampel gambar RGB.....	56
Gambar 3.26	Sampel gambar <i>grayscale</i> .....	56
Gambar 3.27	Sampel gambar Crop.....	57
Gambar 3.28	Sampel gambar pembalikan warna .....	57
Gambar 3.29	<i>Filtering</i> .....	57
Gambar 3.30	<i>Biner</i> .....	58
Gambar 4.1	Peta pola aliran butanol 7%.....	70
Gambar 4.2	Perbandingan peta pola aliran dengan garis transisi (Fukano dan Kariyasaki, 1993) .....	71

Gambar 4.3	Perbandingan peta pola aliran dengan garis transisi (Chung dan Kawaji 2004) .....	72
Gambar 4.4	Fraksi hampa pola aliran <i>plug</i> (a) $J_G = 0,025 \text{ m/s}$ , $J_L = 0,149 \text{ m/s}$ (b) $0,025 \text{ m/s}$ , $J_L = 0,232 \text{ m/s}$ .....	74
Gambar 4.5	<i>Time-Average</i> pola aliran <i>plug</i> (a) $J_G = 0,025 \text{ m/s}$ , $J_L = 0,149 \text{ m/s}$ (b) $0,025 \text{ m/s}$ , $J_L = 0,232 \text{ m/s}$ . ....	74
Gambar 4.6	PDF pola aliran <i>plug</i> (a) $J_G = 0,025 \text{ m/s}$ , $J_L = 0,149 \text{ m/s}$ (b) $0,025 \text{ m/s}$ , $J_L = 0,232 \text{ m/s}$ .....	75
Gambar 4.7	Fraksi hampa pola aliran <i>bubbly</i> (a) $J_G = 0,116 \text{ m/s}$ , $J_L = 2,297 \text{ m/s}$ (b) $J_G = 0,207 \text{ m/s}$ , $J_L = 2,297 \text{ m/s}$ .....	76
Gambar 4.8	<i>Time-Average</i> pola aliran <i>bubbly</i> (a) $J_G = 0,116 \text{ m/s}$ , $J_L = 2,297 \text{ m/s}$ (b) $J_G = 0,207 \text{ m/s}$ , $J_L = 2,297 \text{ m/s}$ . ....	76
Gambar 4.9	PDF pola aliran <i>bubbly</i> (a) $J_G = 0,116 \text{ m/s}$ , $J_L = 2,297 \text{ m/s}$ (b) $J_G = 0,207 \text{ m/s}$ , $J_L = 2,297 \text{ m/s}$ . ....	77
Gambar 4.10	Fraksi hampa pola aliran <i>slug-annular</i> (a) $J_G = 4,238 \text{ m/s}$ , $J_L = 0,033 \text{ m/s}$ (b) $J_G = 9,62 \text{ m/s}$ , $J_L = 0,033 \text{ m/s}$ .....	78
Gambar 4.11	<i>Time-Average</i> pola aliran <i>slug-annular</i> (a) $J_G = 4,238 \text{ m/s}$ , $J_L = 0,033 \text{ m/s}$ (b) $J_G = 9,62 \text{ m/s}$ dan $J_L = 0,033 \text{ m/s}$ .....	78
Gambar 4.12	PDF pola aliran <i>slug-annular</i> (a) $J_G = 4,238 \text{ m/s}$ , $J_L = 0,033 \text{ m/s}$ (b) $J_G = 9,62 \text{ m/s}$ , $J_L = 0,033 \text{ m/s}$ .....	79
Gambar 4.13	Fraksi hampa pola aliran <i>annular</i> (a) $J_G = 50 \text{ m/s}$ , $J_L = 0,033 \text{ m/s}$ (b) $J_G = 50 \text{ m/s}$ , $J_L = 0,149 \text{ m/s}$ .....	80
Gambar 4.14	<i>Time-Average</i> pola aliran <i>annular</i> (a) $J_G = 50 \text{ m/s}$ , $J_L = 0,033 \text{ m/s}$ (b) $J_G = 50 \text{ m/s}$ , $J_L = 0,149 \text{ m/s}$ .....	80

Gambar 4.15 PDF pola aliran <i>annular</i> (a) $J_G = 50 \text{ m/s}$ , $J_L = 0,033 \text{ m/s}$ (b) $J_G = 50 \text{ m/s}$ , $J_L = 0,149 \text{ m/s}$ .	81
Gambar 4.16 Fraksi hampa pola aliran <i>churn</i> (a) $J_G = 22,6 \text{ m/s}$ , $J_L = 0,539 \text{ m/s}$ (b) $J_G = 58,05 \text{ m/s}$ , $J_L = 0,539 \text{ m/s}$ .	82
Gambar 4.17 <i>Time-Average</i> pola aliran <i>churn</i> (a) $J_G = 22,6 \text{ m/s}$ , $J_L = 0,539 \text{ m/s}$ (b) $J_G = 58,05 \text{ m/s}$ , $J_L = 0,539 \text{ m/s}$ .	82
Gambar 4.18 PDF pola aliran <i>churn</i> (a) $J_G = 22,6 \text{ m/s}$ , $J_L = 0,539 \text{ m/s}$ (b) $J_G = 58,05 \text{ m/s}$ dan $J_L = 0,539 \text{ m/s}$ .	83
Gambar 4.19 Pengaruh $J_G$ terhadap gradien tekanan dengan variasi $J_L$	84
Gambar 4.20 Pengaruh $J_L$ terhadap gradien tekanan dengan variasi $J_G$	84
Gambar 4.21 Gradien tekanan terhadap waktu pada $J_G = 0,871 \text{ m/s}$ dan $J_L = 0,232 \text{ m/s}$	85
Gambar 4.22 Grafik PDF gradien tekanan $J_G = 0,871 \text{ m/s}$ dan $J_L = 0,232 \text{ m/s}$	86

## DAFTAR TABEL

Tabel 3.1	Sifat fisik udara .....	33
Tabel 3.2	Sifat fisik cairan (Hasil uji Laboratorium Thermal UGM) .....	35
Tabel 3.3	Spesifikasi kompresor .....	37
Tabel 3.4	Spesifikasi <i>watertrap</i> .....	38
Tabel 3.5	Spesifikasi <i>flowmeter</i> udara .....	39
Tabel 3.6	Spesifikasi Penampung Akuades dan Butanol.....	40
Tabel 3.7	Spesifikasi pompa air .....	41
Tabel 3.8	Spesifikasi <i>flowmeter</i> air.....	42
Tabel 3.9	Spesifikasi Bejana Bertekanan.....	43
Tabel 3.10	Spesifikasi kamera .....	45
Tabel 3.11	Spesifikasi <i>Pressure Transducer</i> .....	48
Tabel 3.12	Spesifikasi Akuisisi Data .....	49
Tabel 4.1	Perbandingan pola aliran <i>plug</i> dengan konsentrasi butanol 7%, dengan nilai $J_G$ tetap 0,066m/s dan nilai $J_L$ bervariasi. ....	60
Tabel 4.2	Perbandingan pola aliran <i>plug</i> dengan konsentrasi butanol 7%, dengan nilai $J_G$ bervariasi dan nilai $J_L$ tetap 0,149 m/s. ....	61
Tabel 4.3	Perbandingan pola aliran <i>bubbly</i> dengan konsentrasi butanol 7%, dengan nilai $J_G$ tetap 0,116 m/s dan nilai $J_L$ bervariasi. ....	62
Tabel 4.4	Perbandingan pola aliran <i>bubbly</i> dengan konsentrasi butanol 7%, dengan nilai $J_G$ bervariasi dan nilai $J_L$ tetap 0,879 m/s .....	63
Tabel 4.5	Perbandingan pola aliran <i>slug annular</i> dengan konsentrasi butanol 7%, dengan nilai $J_G$ tetap 0,7 m/s dan nilai $J_L$ bervariasi. .	64

Tabel 4.6	Perbandingan pola aliran <i>slug annular</i> konsentrasi butanol 7%, dengan nilai $J_G$ bervariasi dan nilai $J_L$ tetap 0,149 m/s.....	65
Tabel 4.7	Perbandingan pola aliran <i>annular</i> dengan konsentrasi butanol 7%, dengan nilai $J_G$ tetap 50 m/s dan nilai $J_L$ bervariasi. ....	66
Tabel 4.8	Perbandingan pola aliran <i>annular</i> dengan konsentrasi butanol 7%, dengan nilai $J_G$ bervariasi dan nilai $J_L$ tetap 0,091 m/s .....	67
Tabel 4.9	Perbandingan pola aliran <i>churn</i> dengan konsentrasi butanol 7%, dengan nilai $J_G$ tetap 50 m/s dan nilai $J_L$ bervariasi. ....	68
Tabel 4.10	Perbandingan pola aliran <i>churn</i> dengan konsentrasi butanol 7%, dengan nilai $J_G$ bervariasi dan nilai $J_L$ tetap 0,879 m/s. ....	69

## **DAFTAR LAMPIRAN**

Lampiran 1	Tabel Variasi Kecepatan Superfisial Gas ( $J_G$ ) Terhadap Gradien Tekanan Pada Butanol 7%.....	92
Lampiran 2	Tabel Variasi Kecepatan Superfisial Cairan ( $J_L$ ) Terhadap Gradien Tekanan Pada Butanol 7%.....	95
Lampiran 3	Hasil Kalibrasi <i>Pressure Transducer MPX System</i> .....	98
Lampiran 4	Matriks Pengambilan Data Pola Aliran .....	99
Lampiran 5	Tabel Kecepatan Superfisial Terbentuknya Pola Aliran .....	100
Lampiran 6	Hasil Uji Laboratorium Campuran Aquades dan Butanol.....	102

## **DAFTAR NOTASI DAN SINGKATAN**

- $J_G$  : Kecepatan superfisial gas (m/s)  
 $J_L$  : Kecepatan superfisial cairan (m/s)  
 $Q_G$  : Laju aliran gas dalam pipa ( $m^3/s$ )  
 $Q_L$  : Laju aliran cairan dalam pipa ( $m^3/s$ )  
 $A$  : Luas penampang pipa ( $m^2$ )  
 $\varepsilon$  : Fraksi hampa  
 $\gamma$  : Tegangan permukaan (N/m)  
 $d$  : Panjang permukaan (m)  
 $F$  : Gaya (N)  
 $D_H$  : Diameter pipa (mm)  
 $L$  : Panjang pipa (m)  
 $\rho$  : Massa jenis ( $kg/m^3$ )  
 $\mu$  : Viskositas dinamik ( $N.s/m^2$ )  
 $v$  : Viskositas kinematik ( $m^2/s$ )